

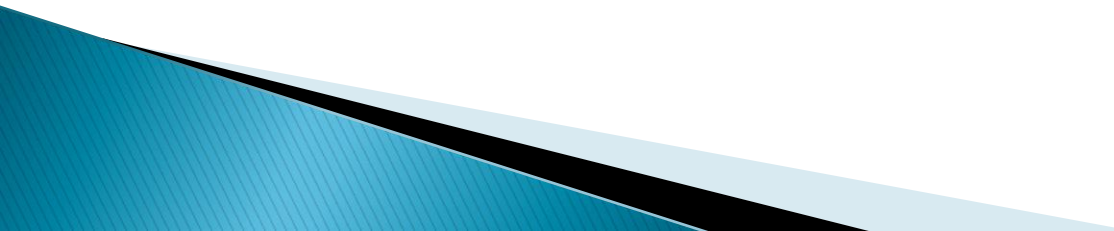
# Optoelectronică, structuri și tehnologii

Curs 11  
2014/2015

# Orar

- ▶ Examen
  - 10.12.2013, P7

# Capitolul 12

- ▶ **Behzad Razavi**  
Design of Integrated Circuits for Optical Communications
  - ▶ [carte1.pdf](#) (2,3)
  - ▶ 29 pg.
- 

# Lista subiecte

- ▶ Amplificatoare transimpedanță
  - 4.1
  - 4.1.1
  - 4.2
  - 4.2.1
  - 4.3
  - 4.3.1
- ▶ Circuite pentru controlul emițătoarelor optice
  - 10.3
  - 10.3.1
  - 10.4
  - 10.4.1

# Dioda Laser

Capitolul 9

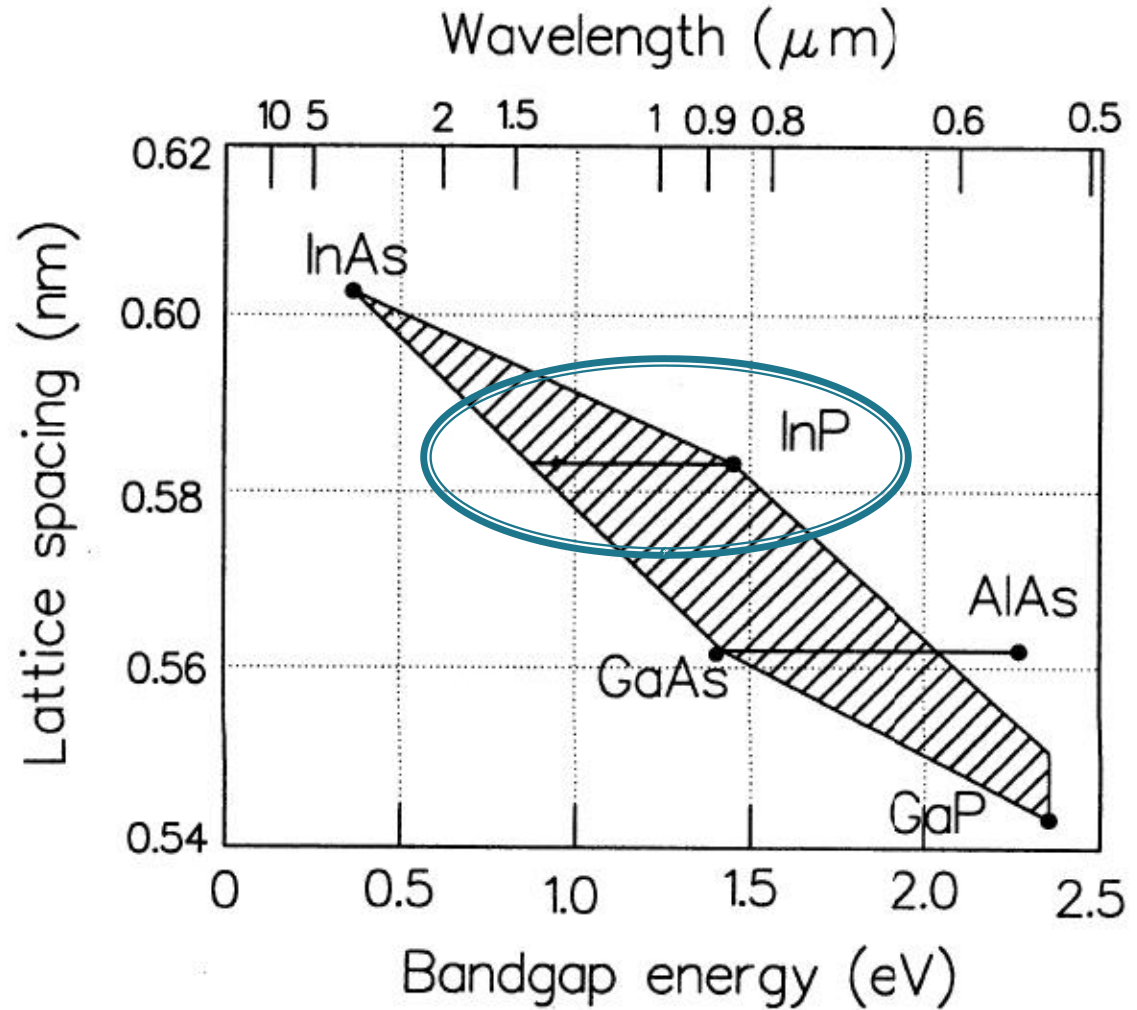
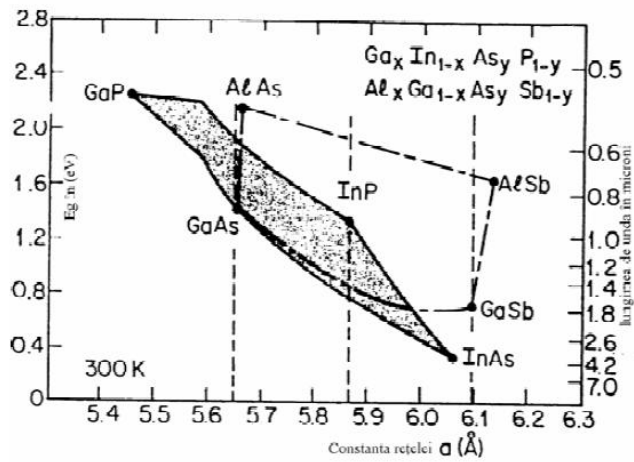
# Lățimea benzii interzise/lungime de undă pentru materialele uzuale

Material	Formula	Wavelength Range $\lambda$ ( $\mu\text{m}$ )	Bandgap Energy $W_g$ (eV)
Indium Phosphide	InP	0.92	1.35
Indium Arsenide	InAs	3.6	0.34
Gallium Phosphide	GaP	0.55	2.24
Gallium Arsenide	GaAs	0.87	1.42
Aluminium Arsenide	AlAs	0.59	2.09
Gallium Indium Phosphide	GaInP	0.64-0.68	1.82-1.94
Aluminium Gallium Arsenide	AlGaAs	0.8-0.9	1.4-1.55
Indium Gallium Arsenide	InGaAs	1.0-1.3	0.95-1.24
Indium Gallium Arsenide Phosphide	InGaAsP	0.9-1.7	0.73-1.35

$$E_g = h\nu; \quad \lambda = \frac{hc}{E_g}$$

- ▶  $h$  constanta lui Plank  
 $6.62 \cdot 10^{-32} \text{ Ws}^2$
- ▶  $c$  viteza luminii **in vid**  
 $2.998 \cdot 10^8 \text{ m/s}$

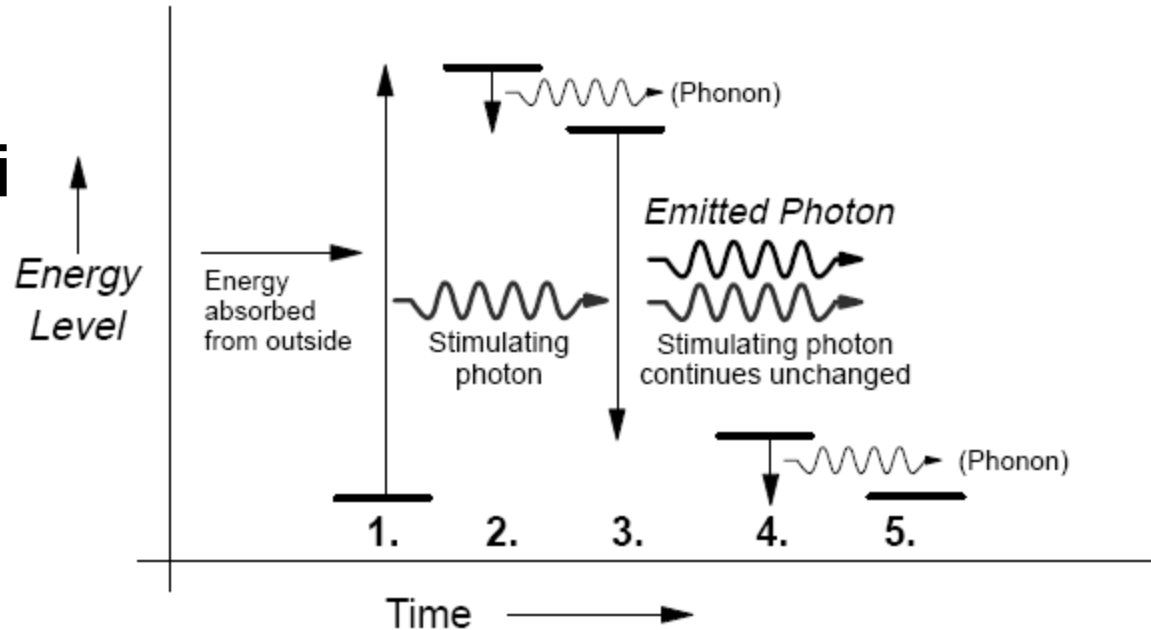
# Dependența benzii interzise de constanta rețelei





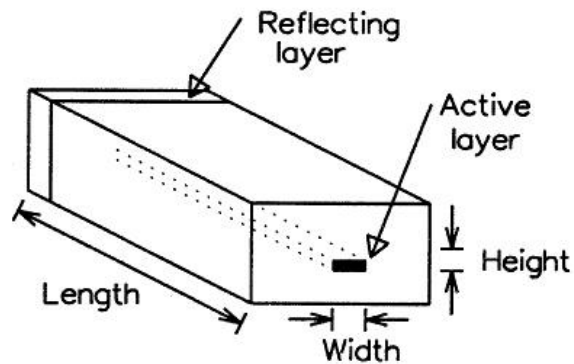
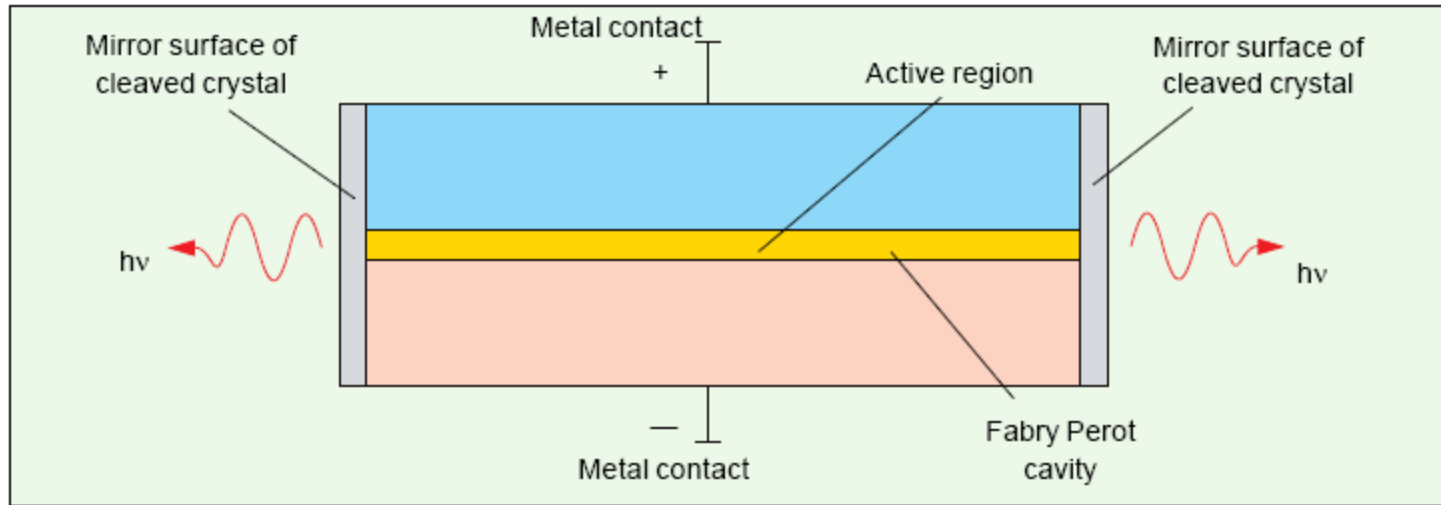
# Materialie cu 4 nivele energetice

- ▶ La un material cu 4 nivele energetice tranzitia radianta a electronului (3) se termina intr-o stare instabila, starea de echilibru obtinandu-se prin emisia unui fonon
- ▶ Inversiunea de populatie se obtine mult mai usor datorita electronilor din starea intermediara



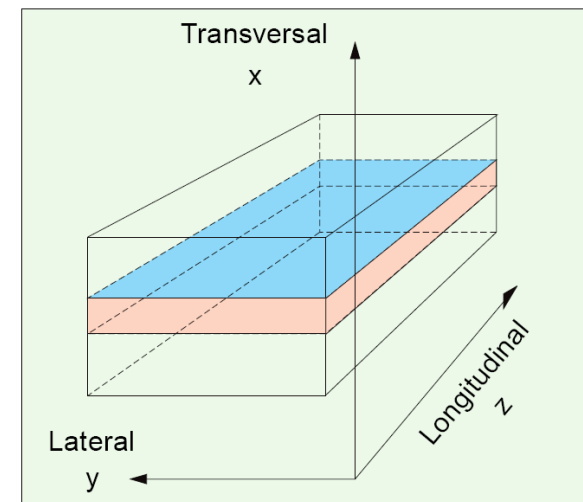


# Dioda LASER Fabry Perot

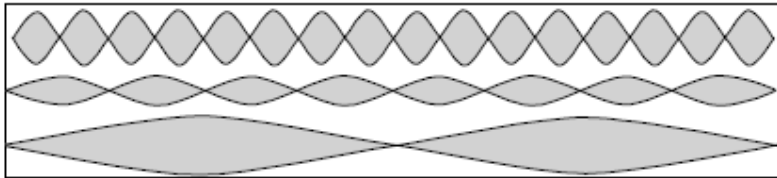


Height:  $0.1 - 0.2 \mu\text{m}$   
Length:  $250 - 500 \mu\text{m}$   
Width:  $5 - 15 \mu\text{m}$   
Sides: rough-cut  
Front: cleaved  
Back: 100% reflector

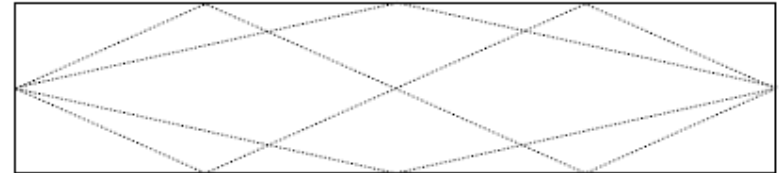
Definirea directiilor in dioda LASER



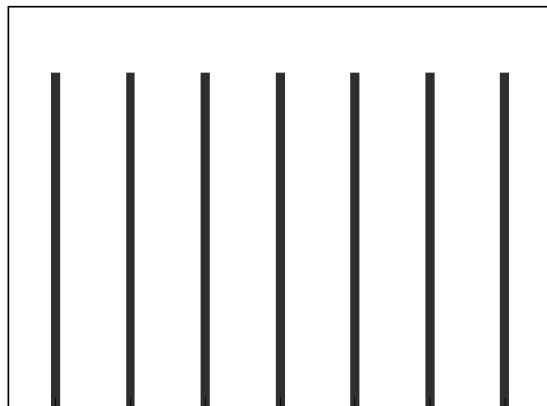
# Spectrul diodei LASER



Longitudinal Modes



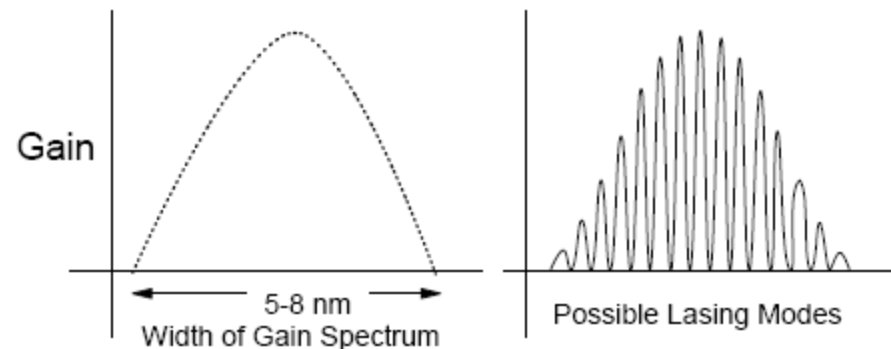
Lateral Modes



1.490 1.494 1.497 1.5 1.503 1.507 1.510  
Wavelength (nm)

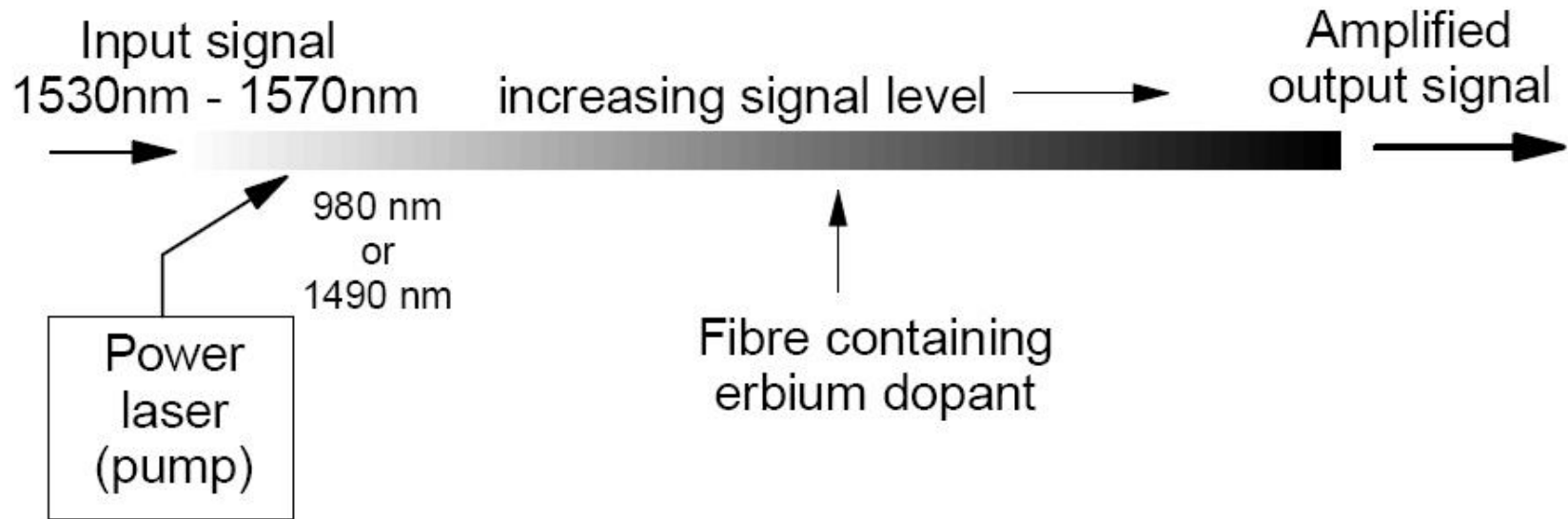
$$f_k = k \cdot \frac{c_0}{2 \cdot n \cdot L} \quad \Delta f = \frac{c_0}{2 \cdot n \cdot L}$$

$$\Delta \lambda \cong \frac{\lambda_0^2}{2 \cdot n \cdot L}$$

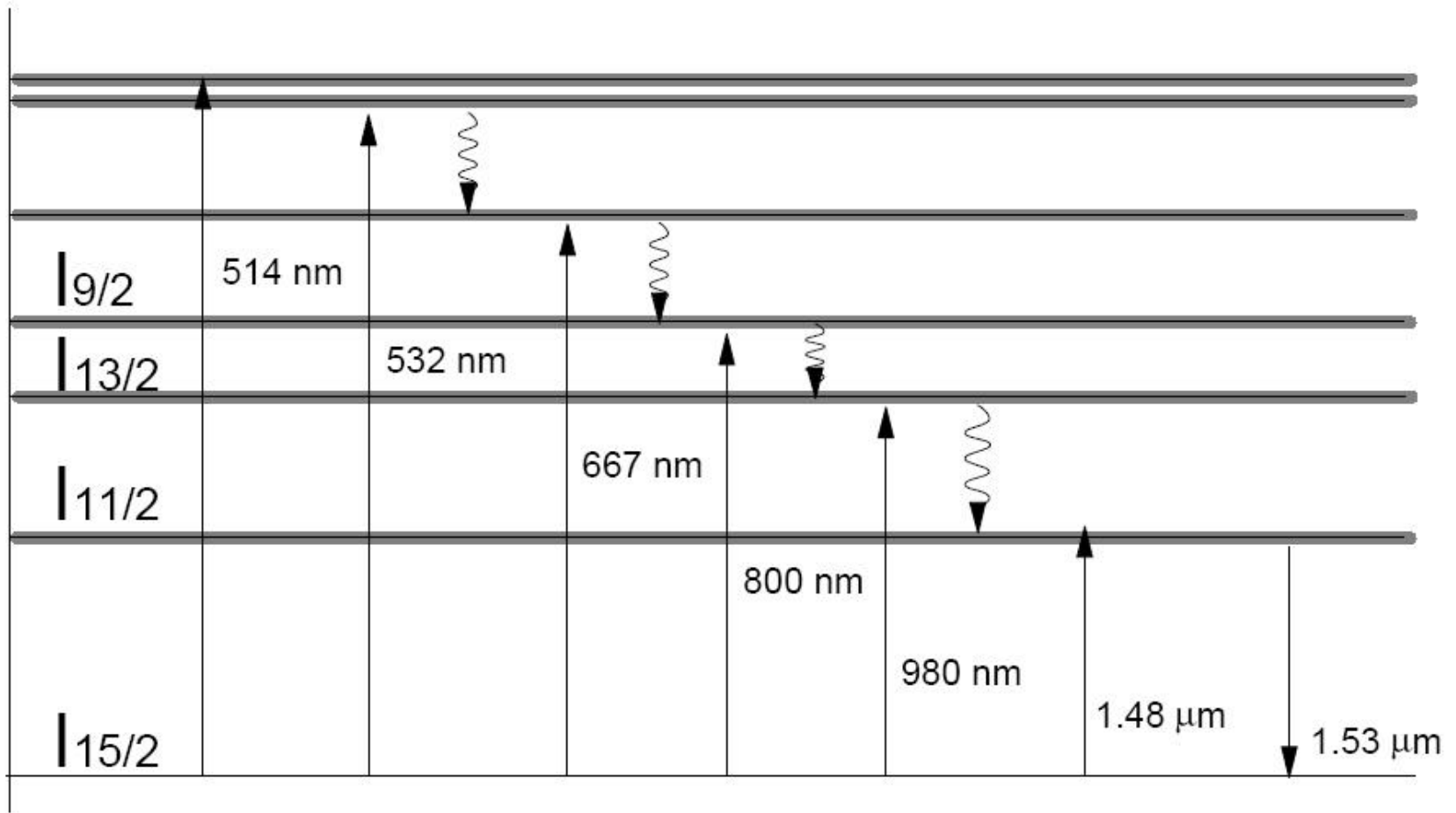


# EDFA

## ▶ Erbium Doped Fiber Amplifier



# EDFA



# Fotodioda

## Capitolul 10

# Detectori optici

## ▶ Cerinte

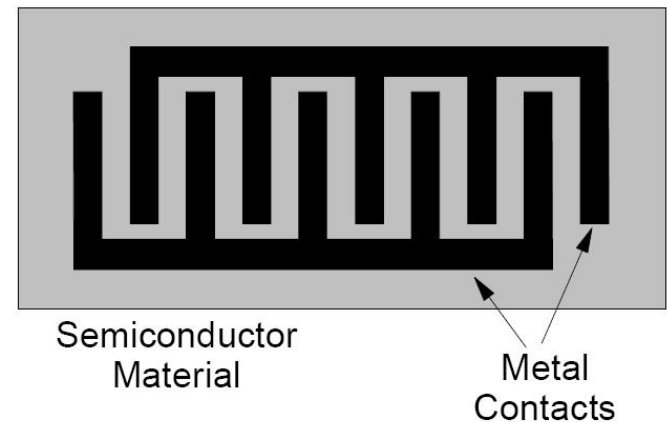
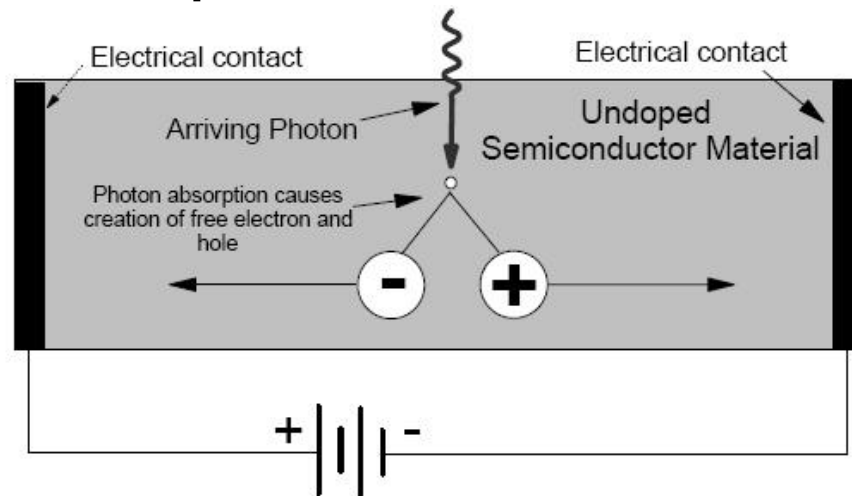
- eficienta crescuta a conversiei optic/electric
- zgomot redus
- raspuns uniform la diferite lungimi de unda
- viteza de raspuns ridicata
- liniaritate

## ▶ Principii de operare

- fotoconductori  $R = R(P_o)$
- fototranzistori  $I_B = I_B(P_o)$
- fotodiode  $I = I(P_o)$ 
  - pn
  - pin
  - pin cu multiplicare in avalansa
  - Schottky

# Fotoconductor

## ▶ Principiu

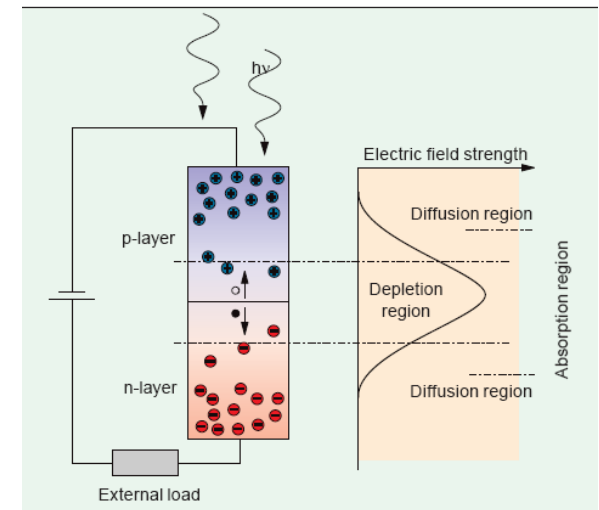
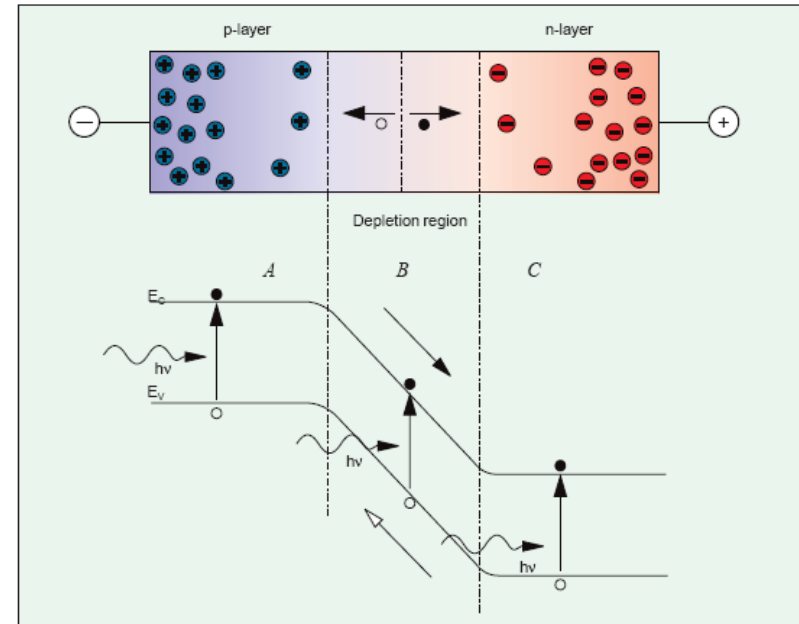


- ▶ Recent dispozitive Metal Semiconductor Metal (filtru interdigital) au inceput sa fie utilizate pentru usurinta de fabricare si integrare in aplicatii mai putin pretentioase



# Fotodioda – Principiul de operare

- ▶ Jonctiunea pn este polarizata invers
- ▶ Lumina este absorbita in regiunea golita de purtatori, un foton absorbit generand o pereche electron-gol
- ▶ Sarcinile sunt separate de campul electric existent in regiunea golita si genereaza un curent in circuitul exterior



# Fotodioda – Principiul de operare

- ▶ Energia necesara pentru eliberarea unei perechi electron gol

$$h\nu = \frac{hc}{\lambda} \geq E_g$$

- ▶ Lungime de unda de taiere

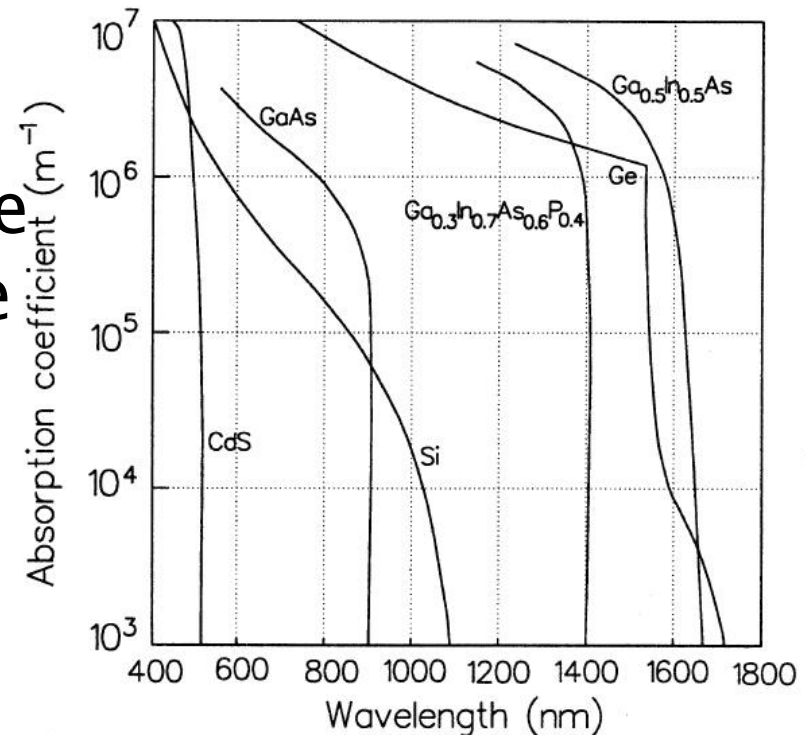
$$\lambda_{\max} = \frac{hc}{E_g}$$

- ▶ Puterea optica absorbita in zona golita de purtatori (w) aflata la o adincime d in interiorul dispozitivului

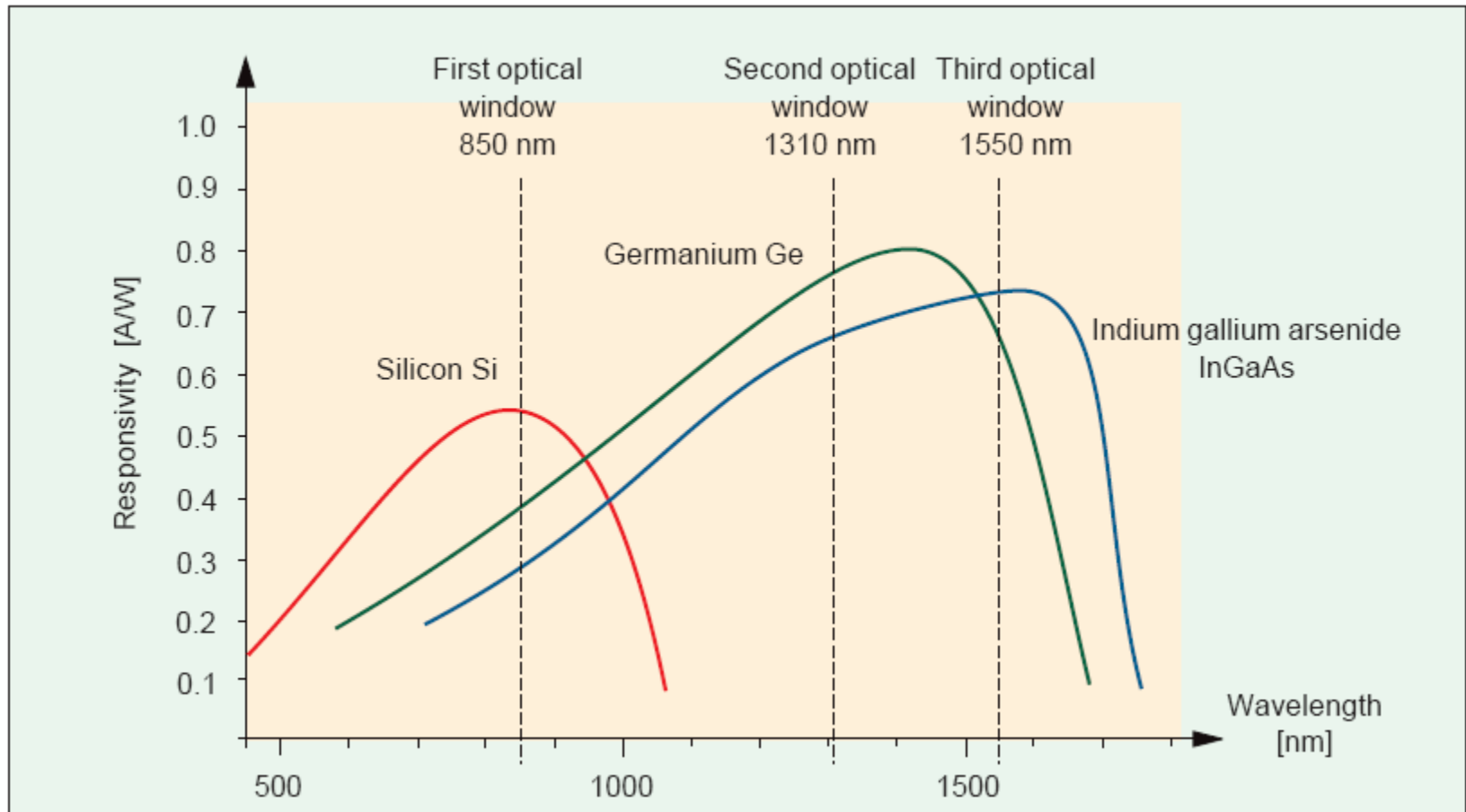
$$P(w) = P_i \cdot e^{-\alpha \cdot d} \cdot (1 - e^{-\alpha \cdot w}) \cdot (1 - R_f)$$

# Fotodioda – Principiul de operare

- ▶ Coeficientul de absorbtie pentru materialele uzuale
- ▶ Valoarea mare a coeficientului de absorbtie la lungimi de unda reduse implica scaderea rezponzivitatii
- ▶ Ca urmare comportarea **tuturor** materialelor este de tip trece banda



# Material utilizate pentru fotodiode



# Fotodioda – Marimi caracteristice

- ▶ Eficienta cuantica – raportul dintre numărul de perechi electron–gol generate și numărul de fotoni incidenti

$$\eta = \frac{n_e}{n_f}$$

- ▶ In unitatea de timp numarul de fotoni depinde de puterea optica, iar numarul de electroni impune curentul generat

$$\eta = \frac{I/e}{P/h\nu}$$

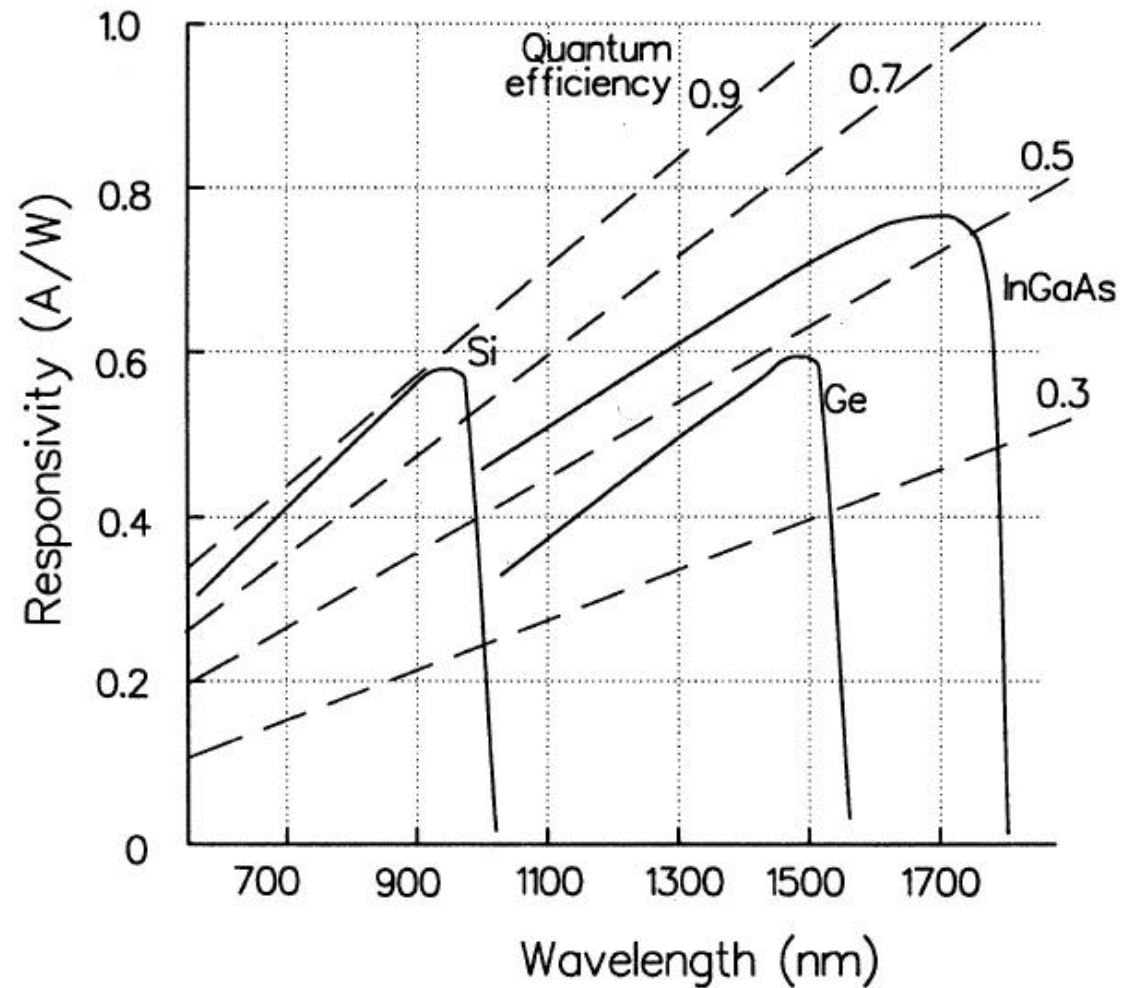
- ▶ Responzivitatea

$$R = \frac{I}{P_o} = \frac{\eta \cdot e \cdot \lambda}{hc}$$

$$R = 0.8 \cdot \eta \cdot \lambda [\mu m] \left[ \frac{A}{W} \right]$$

# Fotodiode - marimi caractéristice

$$R = \frac{I}{P_o} = \eta \cdot \frac{e}{hc} \cdot \lambda$$



# Material utilizate pentru fotodiode

Material	$\lambda$ [ $\mu\text{m}$ ]	Responsivitate [A/W]	Viteza [ns]	Curent de intuneric
Si	0.85	0.55	3	1
Si	0.65	0.4	3	1
InGaAs	1.3–1.6	0.95	0.2	3
Ge	1.55	0.9	3	66

- ▶ Dezavantajul major pentru Ge este curentul de intuneric mare

Material	$E_g$ (eV)
GaAs	1.43
GaSb	0.73
$\text{GaAs}_{0.88}\text{Sb}_{0.12}$	1.15
Ge	0.67
InAs	0.35
InP	1.35
$\text{In}_{0.53}\text{Ga}_{0.47}\text{As}$	0.75
$\text{In}_{0.14}\text{Ga}_{0.86}\text{As}$	1.15
Si	1.14



# Curent de intuneric

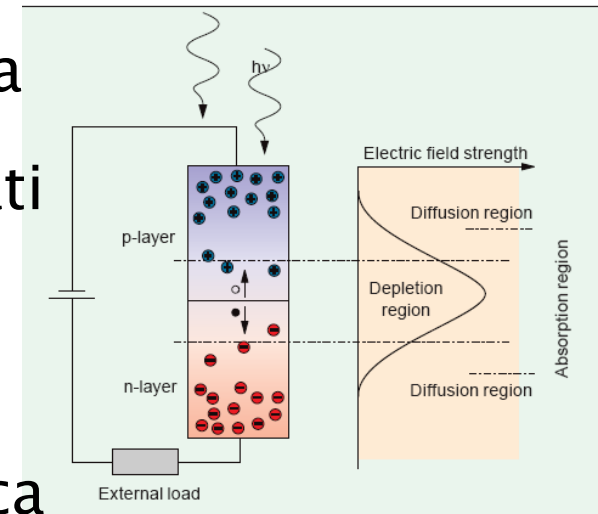
- ▶ Curentul invers al jonctiunii p-n, datorat agitatiei termice, prezent in absenta iluminarii
- ▶ Constitutie o importanta sursa de zgomot (limiteaza aplicatiile Ge)

$$I_D = I_S \approx \frac{\beta \cdot kT}{eR_0}$$

- $\beta$  – coeficient de idealitate  $\beta = 1 \div 2$
- $R_0$  – rezistenta la intuneric a diodei (invers proportionala cu aria diodei)

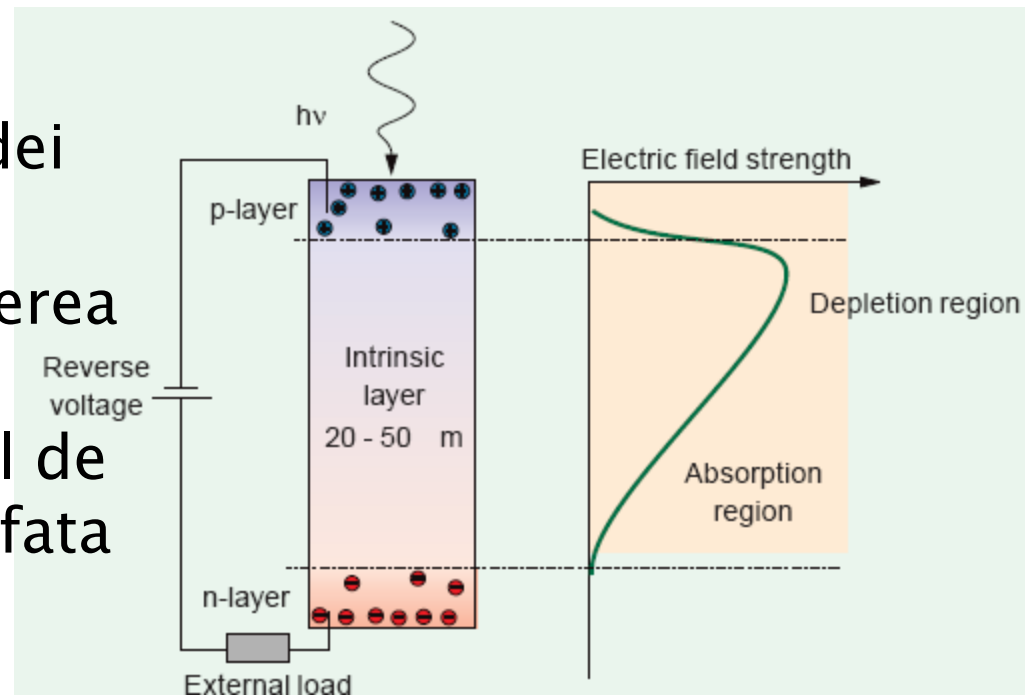
# Fotodioda PIN

- ▶ Existenta campului electric in regiunea golita de purtatori face ca eventualii purtatori generati optic sa fie accelerati spre terminale pentru constituirea fotocurentului
- ▶ Problemele utilizarii diodei pn polarizate invers ca fotodetector sunt generate de adancimea extrem de mica a zonei golite ( $w$ )
- ▶ Puterea optica absorbita in interiorul acestei zone e in consecinta redusa
- ▶ Puratorii generati inafara zonei de golire ajung eventual in zona golita si vor fi accelerati spre terminale, dar viteza fenomenului este prea redusa pentru aplicatii in comunicatii



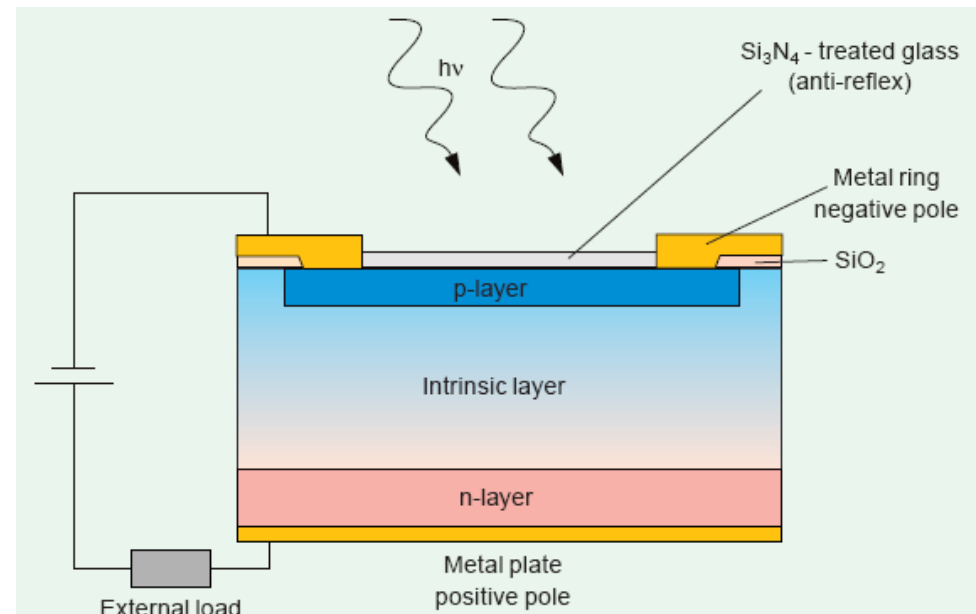
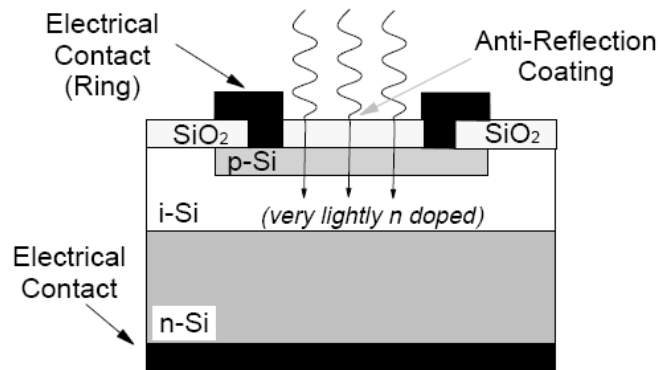
# Fotodioda PIN

- ▶ Solutia consta in introducerea unui strat foarte slab dopat (intrinsec) intre cele doua zone ale diodei
  - creste volumul de absorbtie deci creste sensibilitatea fotodiodei
  - capacitatea jonctiunii scade ducand la cresterea vitezei
  - este favorizat curentul de conductie (mai rapid) fata de cel de difuzie



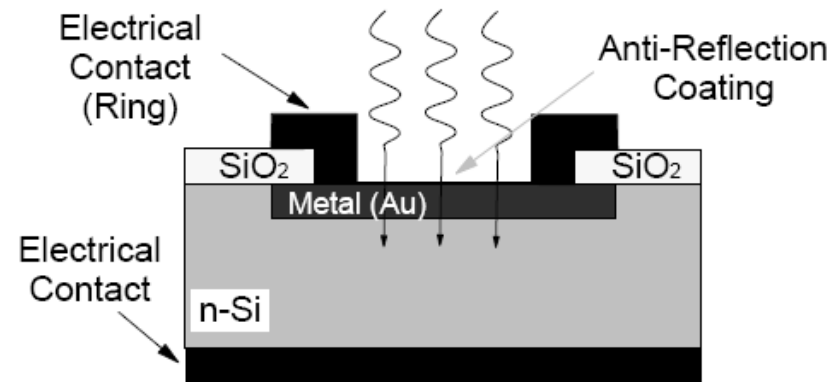
# Structura fotodiodei PIN

- ▶ tipic, adancimea stratului intrinsec este de 20–50 $\mu\text{m}$
- ▶ cresterea suplimentara a adancimii ar duce la creterea timpului de tranzit
  - $w=20\mu\text{m} \rightarrow T_{tr} \cong 0.2\text{ns}$



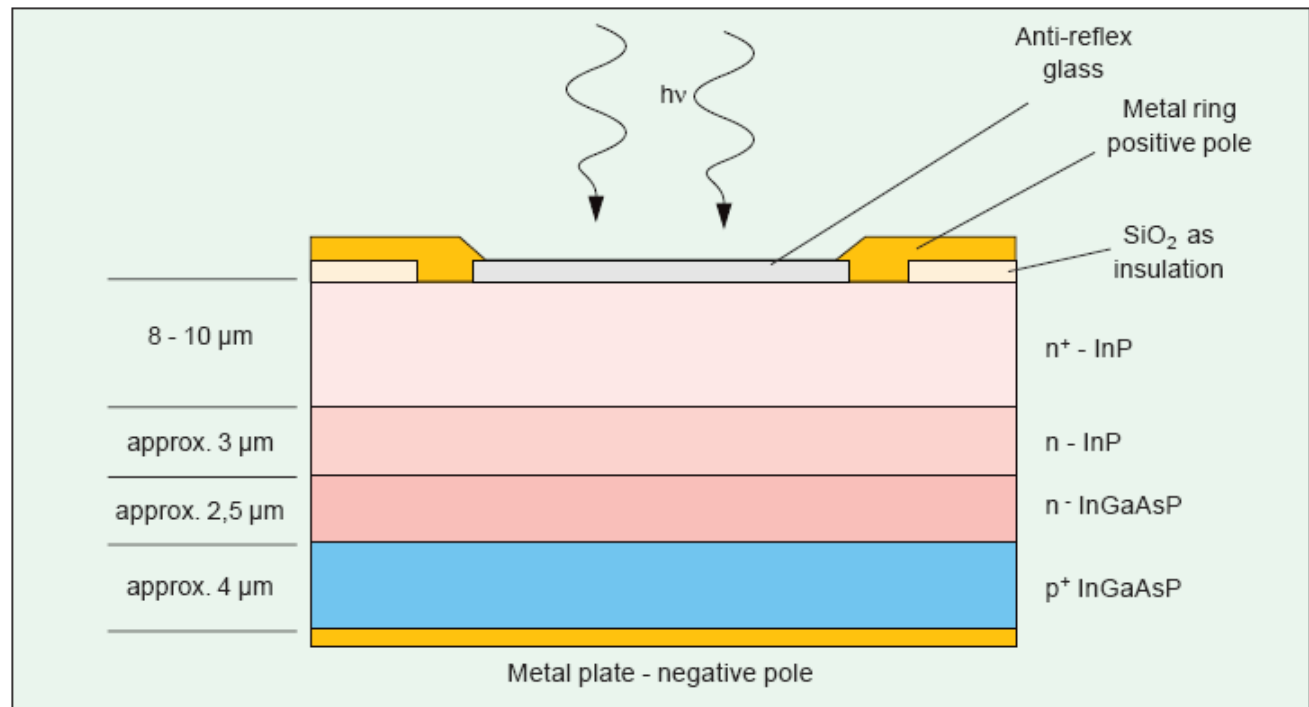
# Structura fotodiodelor Schottky

- ▶ se bazeaza pe jonctiunea metal semiconductor
- ▶ vitezele de lucru sunt mult mai mari, metalul fiind un bun conductor realizeaza evacuarea mult mai rapida a purtatorilor din jonctiune
- ▶ permite utilizarea unor materiale cu eficienta mai mare dar care nu pot fi dopate simultan p si n pentru utilizare in PIN
- ▶ modulatie cu 100GHz posibila

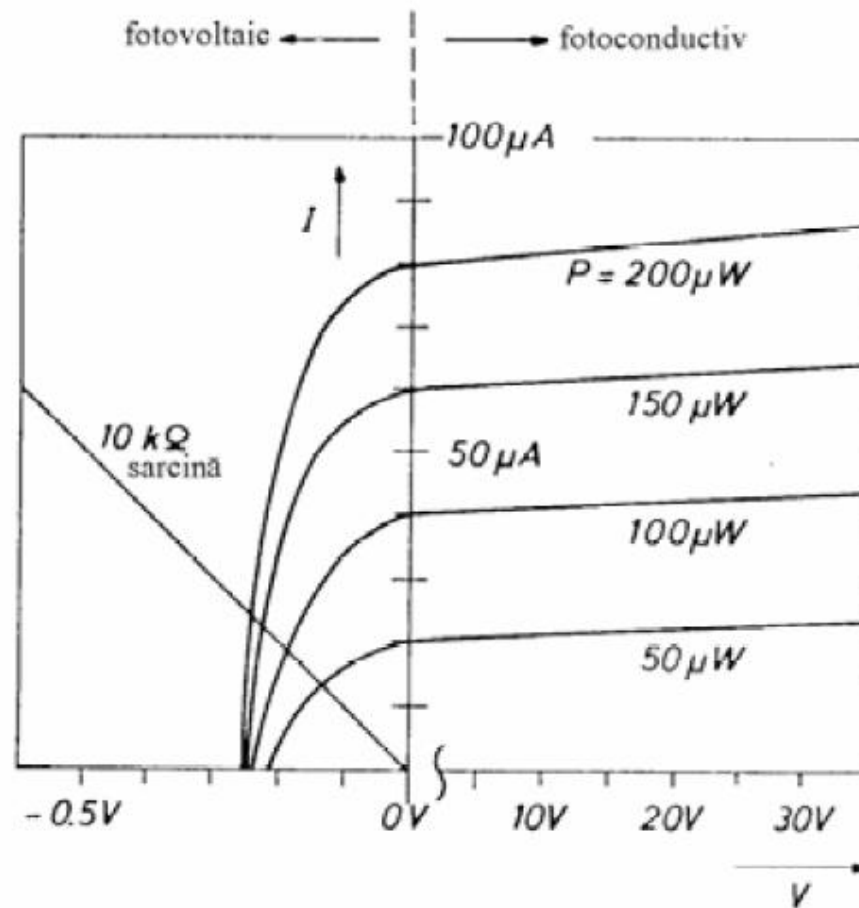


# Fotodioda PIN pentru lungimi de unda crescute (1550nm)

- ▶ se utilizeaza tipic
  - InGaAsP pe substrat InP
  - GaAlAsSb pe substrat GaSb



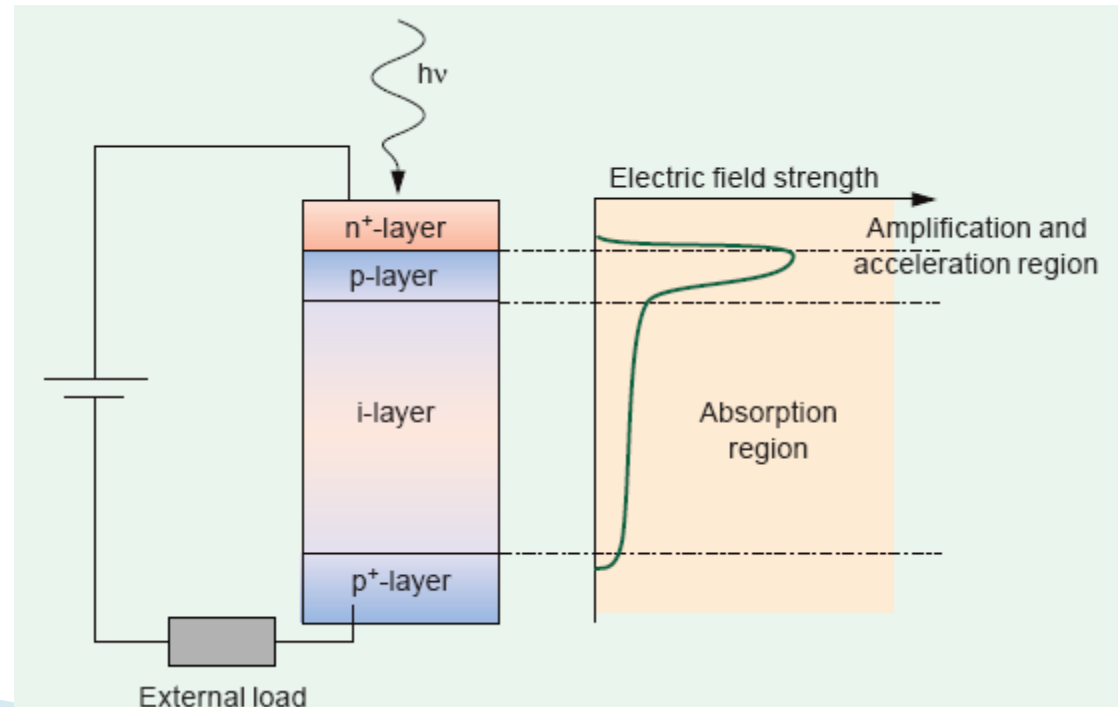
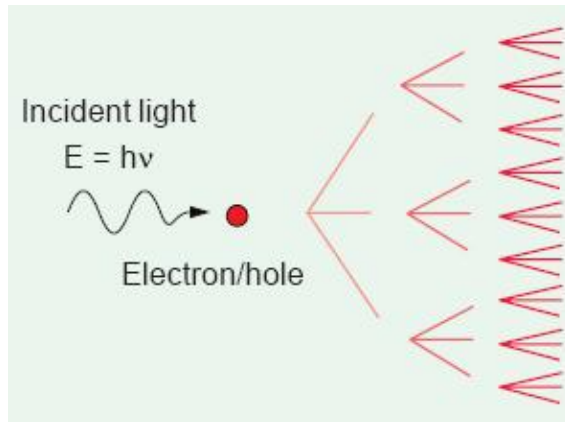
# Caracteristici curent/tensiune





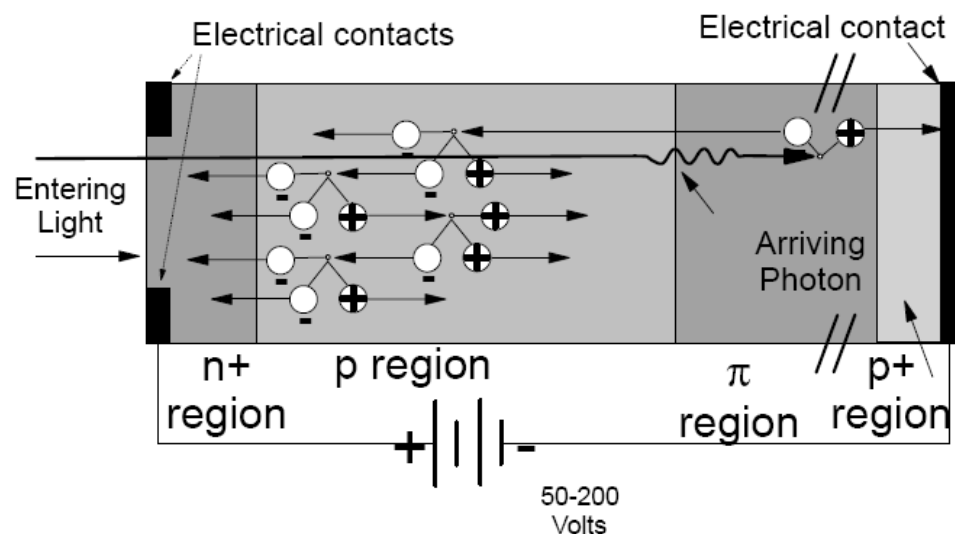
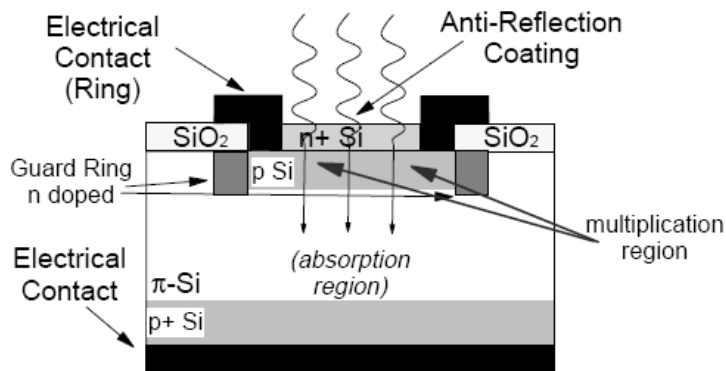
# Fotodioda PIN cu multiplicare in avalansa

- ▶ daca viteza purtatorilor este suficient de mare genereaza noi perechi electron/gol prin ionizare de impact
- ▶ amplificarea are loc in acelasi timp cu detectia

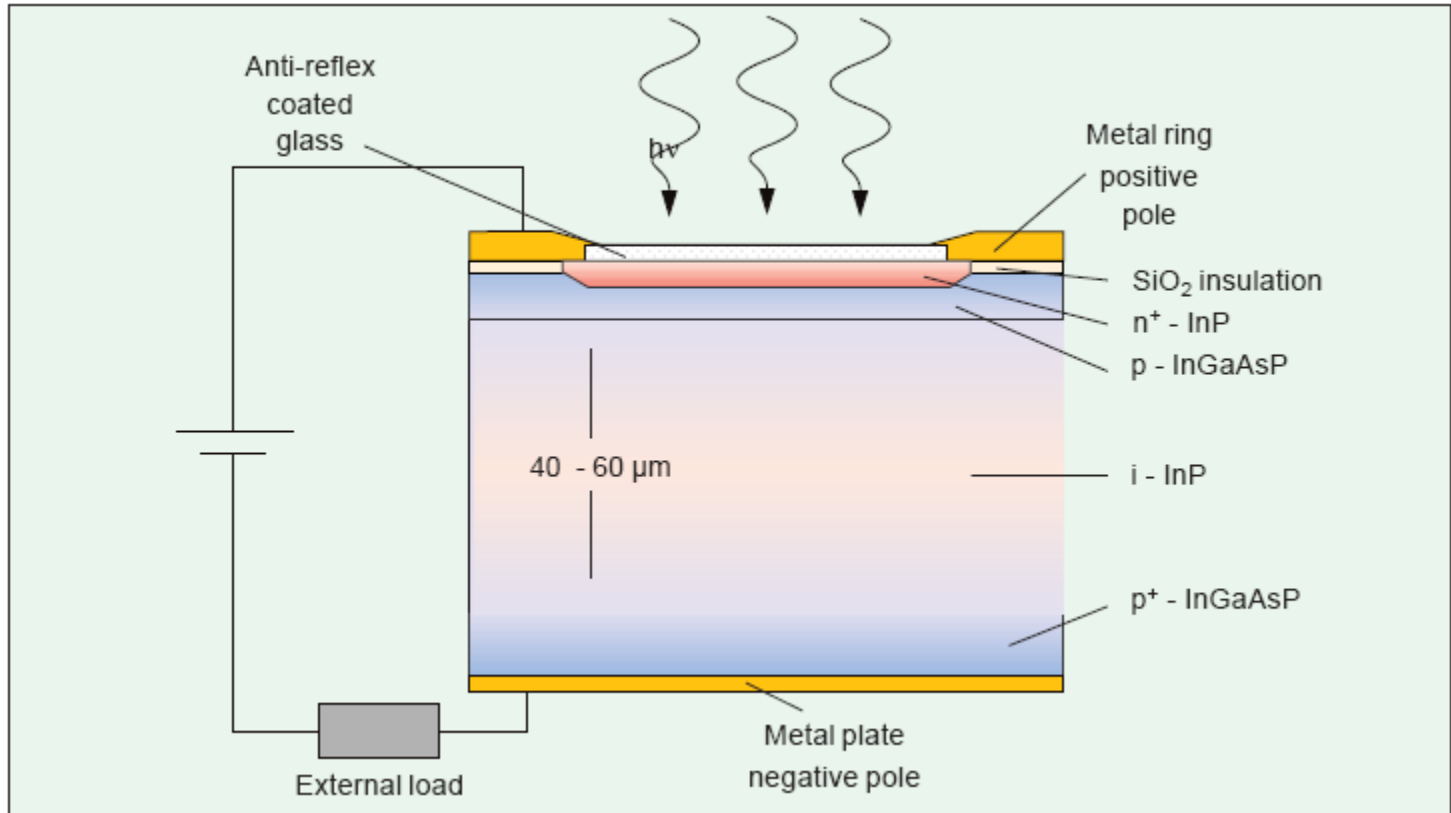


# Functionarea fotodiodei cu multiplicare in avalansa

- ▶ campuri electrice de ordinul minim:  $3 \times 10^5$  V/m, tipic:  $10^6$  V/m sunt necesare
- ▶ aceste campuri sunt generate de tensiuni inverse de polarizare de ordinul 50–300V
- ▶ structura este modificata pentru concentrarea campului in zona de accelerare



# Structura fotodiodei cu multiplicare in avalansa



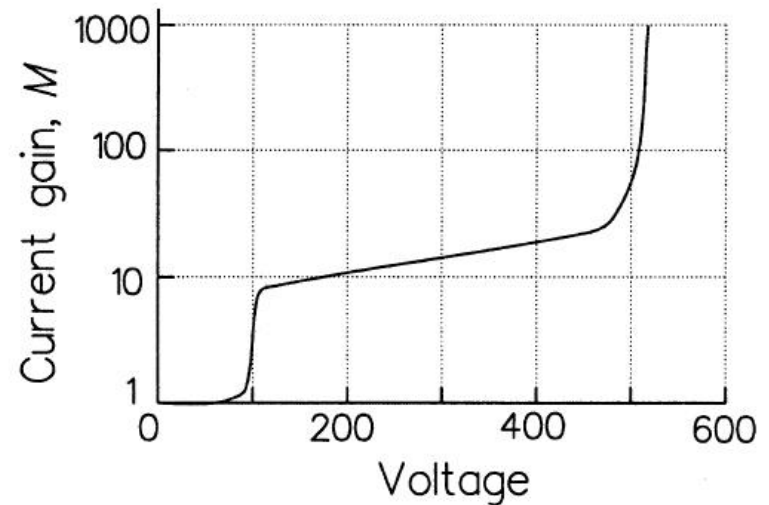
# Caracteristicile fotodiodei cu multiplicare in avalansa

- ▶ factorul de multiplicare caracterizeaza amplificarea fotocurentului generat

$$M = \frac{I_M}{I}$$

- ▶ Responzivitatea

$$R = \frac{I}{P_o} = \frac{\eta \cdot e \cdot \lambda}{hc} \cdot M$$



# Dezavantaje

- ▶ tensiuni inverse de polarizare mari cresc complexitatea circuitului
- ▶ diodele cu multiplicare in avalansa sunt intrinsec mai zgomotoase (curentul de zgomot este amplificat de asemenea)
- ▶ factorul de multiplicatie are o componenta aleatorie (zgomot suplimentar)
- ▶ viteza mai redusa (timp de generare al avalansei)

# Zgomotul traductorilor electro-optici

Capitolul 11

# Zgomotul emitatorilor optici

## ▶ LED

- este considerat o sursa lipsita de zgomot
- nu contamineaza semnalul cu zgomot suplimentar

## ▶ Dioda LASER

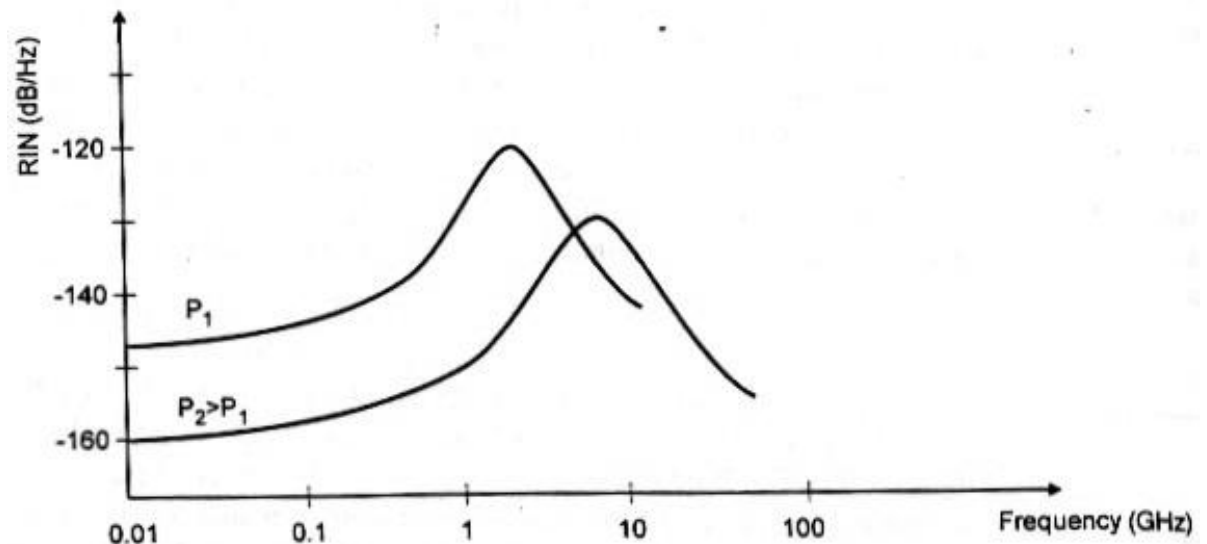
- fluctuatii de faza, determina o largire a spectrului emis
- fluctuatii de intensitate, determina zgomotul de intensitate introdus de dioda
- RIN – Relative Intensity Noise

$$RIN[1/Hz] = \frac{\langle P_n^2 \rangle}{\langle P^2 \rangle \cdot BW}$$



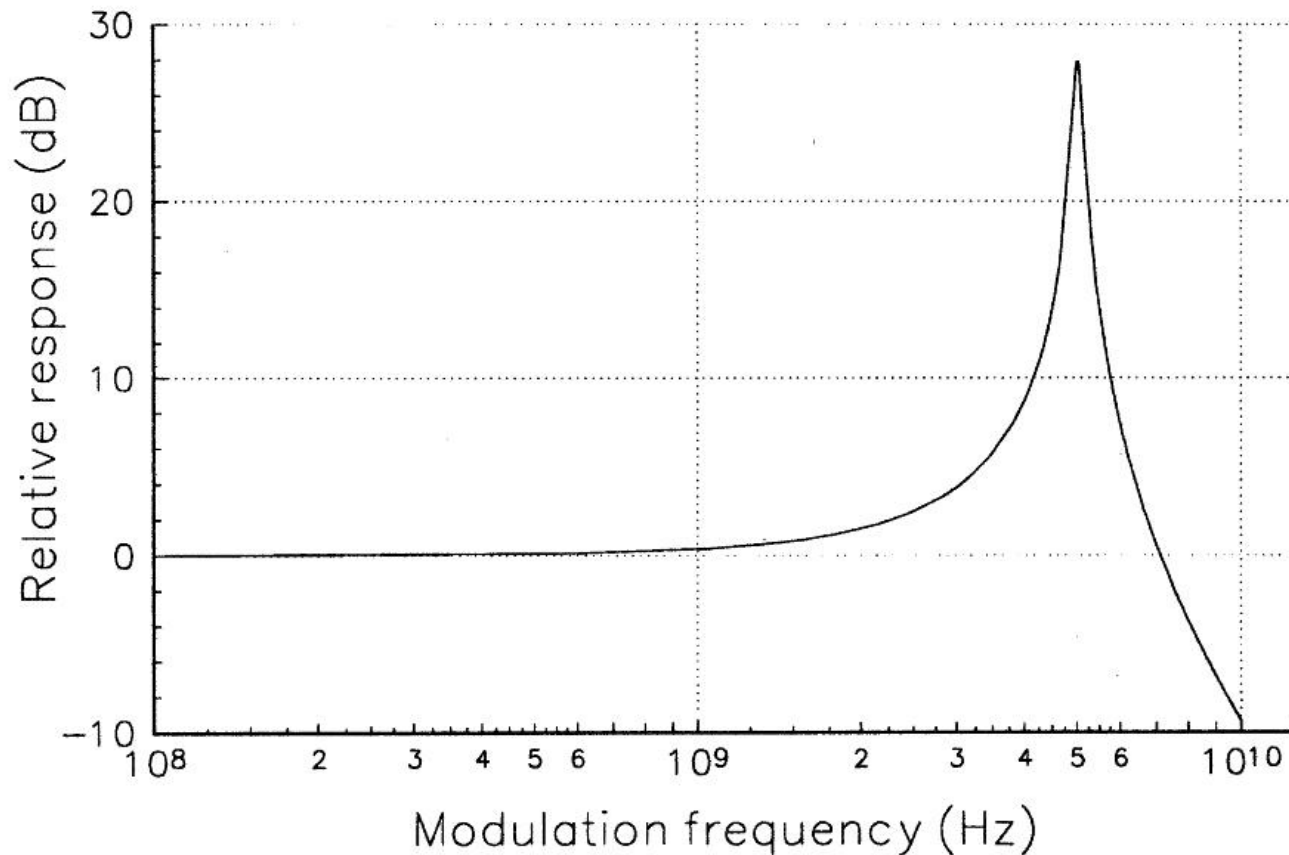
# RIN

- ▶ reprezinta o densitate spectrala de zgomot
  - puterea de zgomot depinde de RIN si de banda semnalului
- ▶ Depinde de puterea semnalului
  - $P^{-3}$  la puteri mici,  $P^{-1}$  la puteri mari



# Raspunsul unei diode laser

- ▶ oscilatii de relaxare - x GHz



# EIN

## ▶ Equivalent Input Noise

- $R_i$  – rezistenta de intrare in circuitul de modulare a diodei
- Variatiile de putere (zgomot) echivalente unor variatii de curent (zgomot) prin dioda

$$\langle P_n^2 \rangle = r \cdot \langle I_n^2 \rangle$$

$$EIN[W] = R_i \cdot \langle I_n^2 \rangle \quad 1 \text{ Hz banda}$$

$$EIN[W / Hz] = RIN \cdot (I_0 - I_{th})^2 \cdot R_i$$

# Zgomotul fotodiodei

## ▶ NEP

- Noise Equivalent Power
- $r$  – rezonvizitatea diodei

$$NEP[W] = \frac{\int \sqrt{\langle i_n^2 \rangle} df}{r}$$

- $r$  depinde de  $\lambda$ , implica NEP depinde de  $\lambda$
- In cataloage apare de obicei densitatea spectrala

$$NEP[W / \sqrt{Hz}] = \frac{\sqrt{\langle i_n^2 \rangle}}{r} = \frac{NEP}{\sqrt{BW_{PD}}}$$

# Zgomotul fotodiodei

## ▶ NEP

- cea mai mica putere detectabila

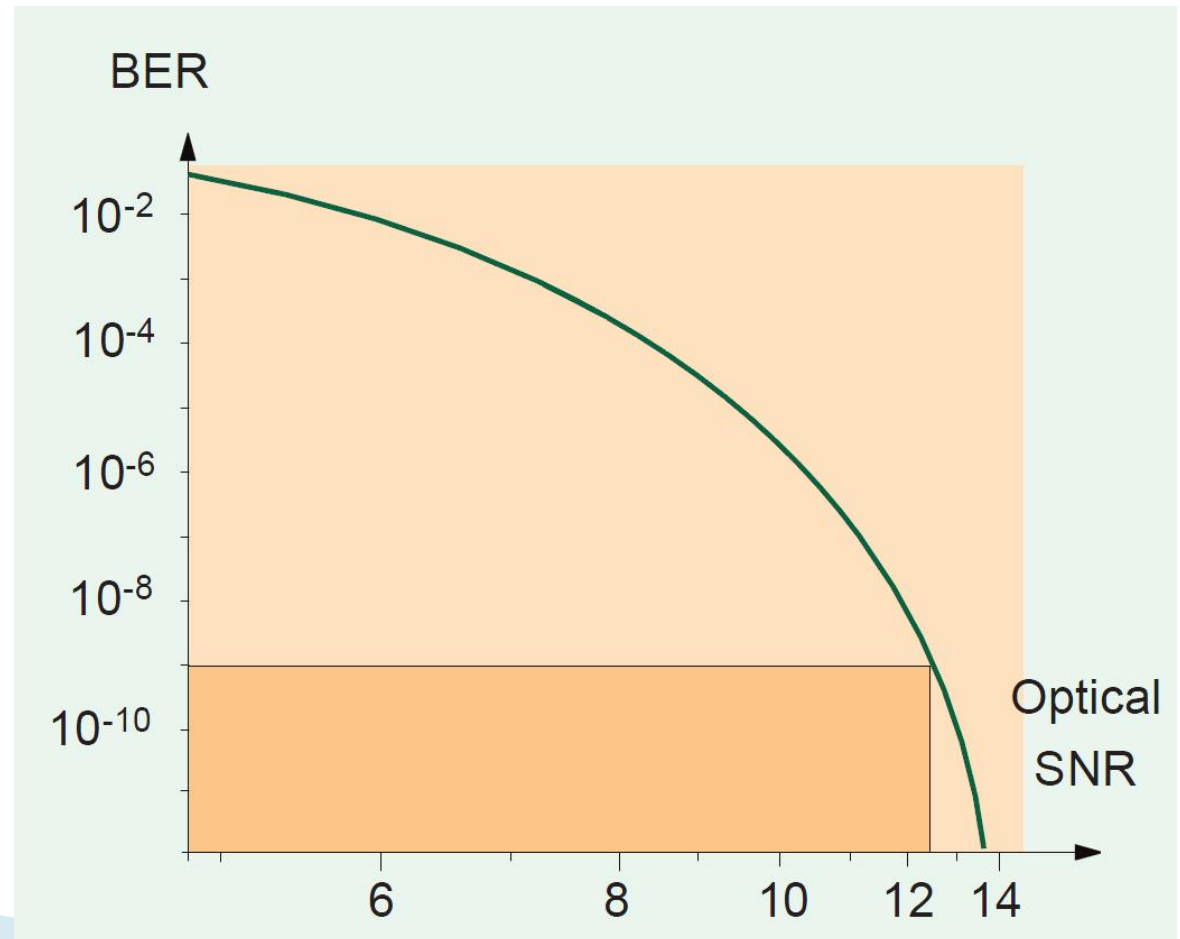
$$\langle i_n^2 \rangle = 2 \cdot e \cdot I \cdot BW_{PD} = 2 \cdot e \cdot (I_S + I_{dark}) \cdot BW_{PD}$$

$$P_{\min} = \frac{\sqrt{\langle i_n^2 \rangle_{\min}}}{r} = \frac{1}{r} \cdot \sqrt{2 \cdot e \cdot I_{dark} \cdot BW_{PD}}$$

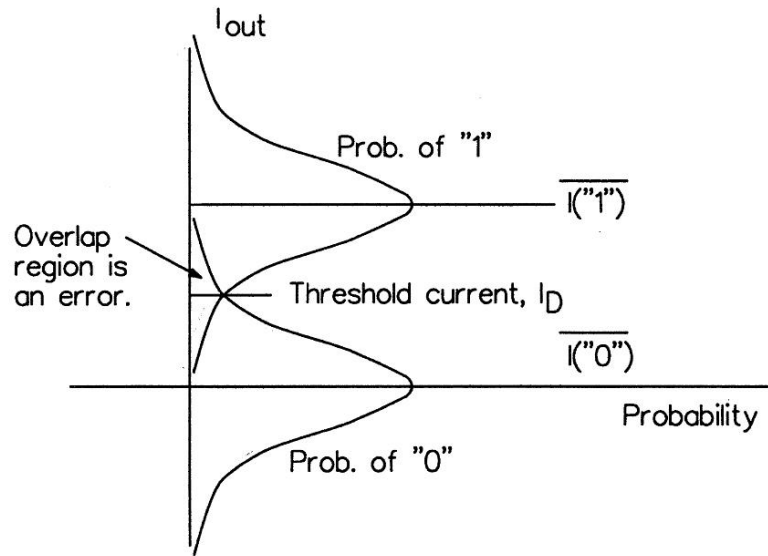
$$NEP[W / \sqrt{Hz}] = \frac{1}{r} \cdot \sqrt{2 \cdot e \cdot I_{dark}}$$

# BER

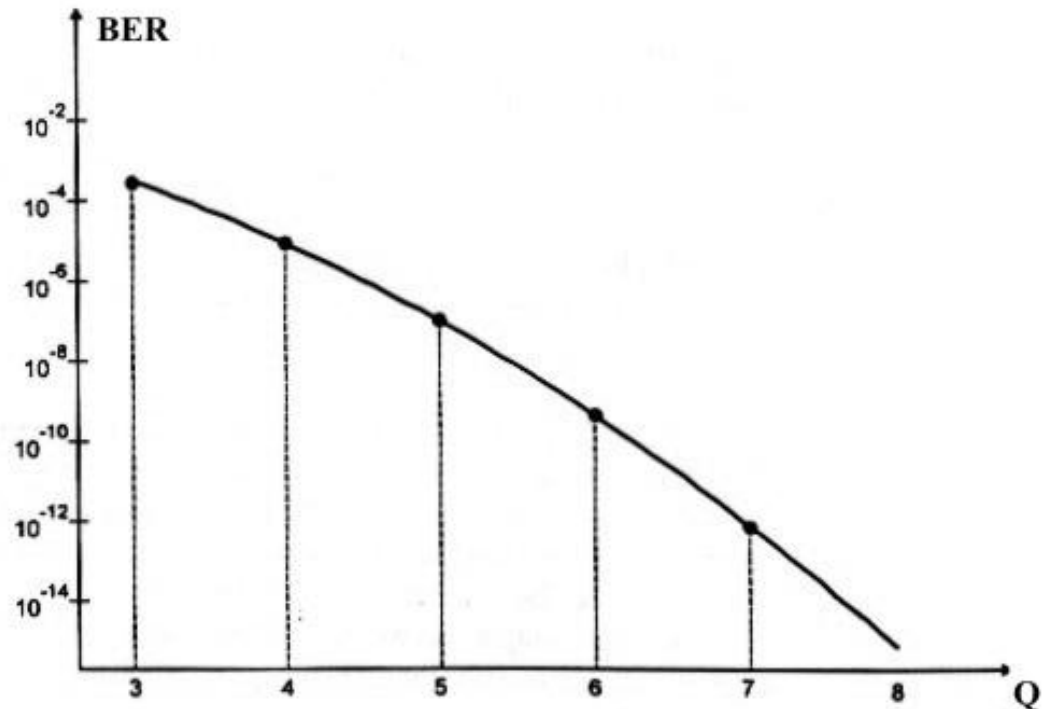
## ▶ Bit Error Rate



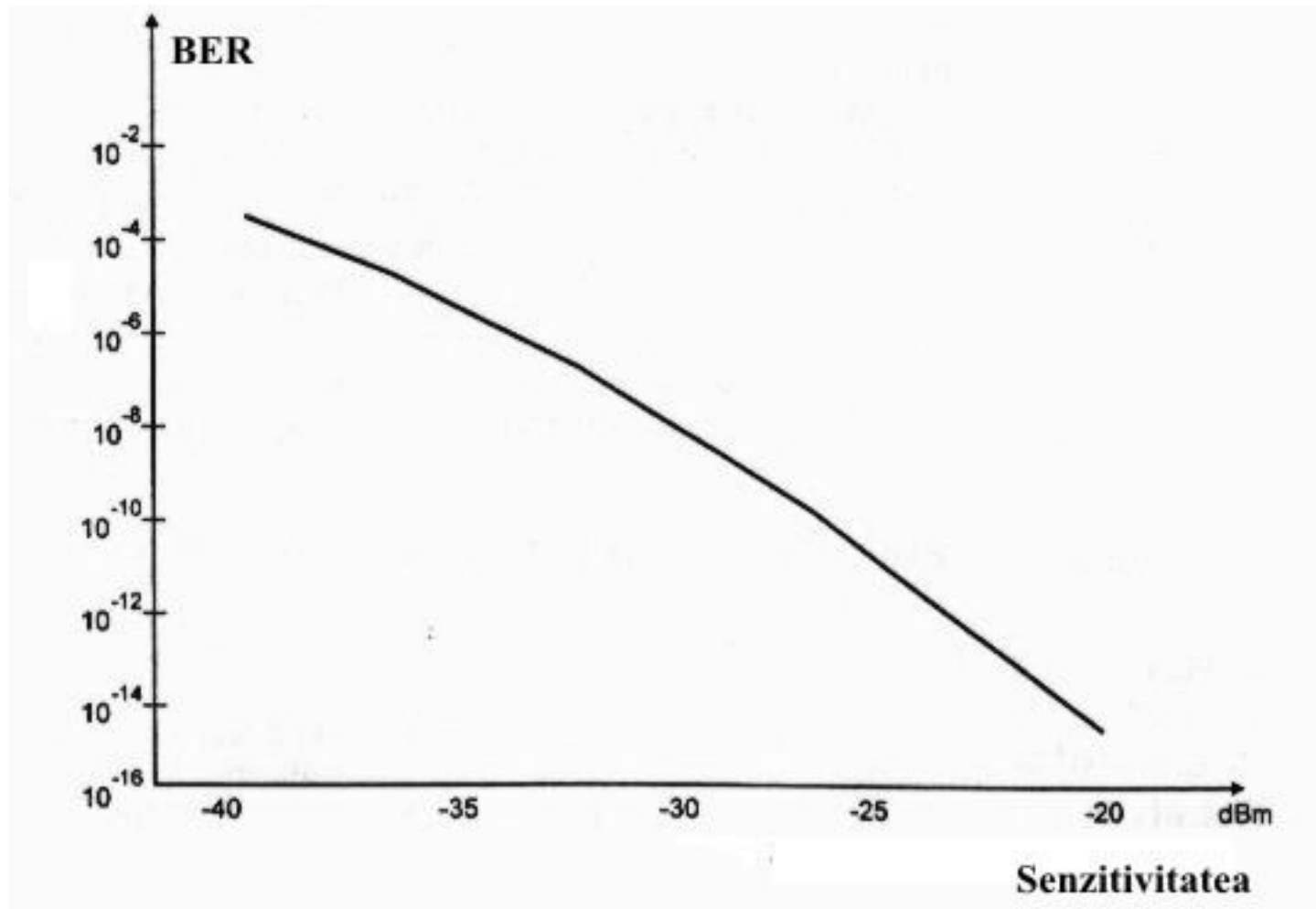
# Probabilitate de eroare



$$Q = \frac{\overline{i(1)} - I_D}{\sigma_1} = \frac{I_D - \overline{i(0)}}{\sigma_0}$$

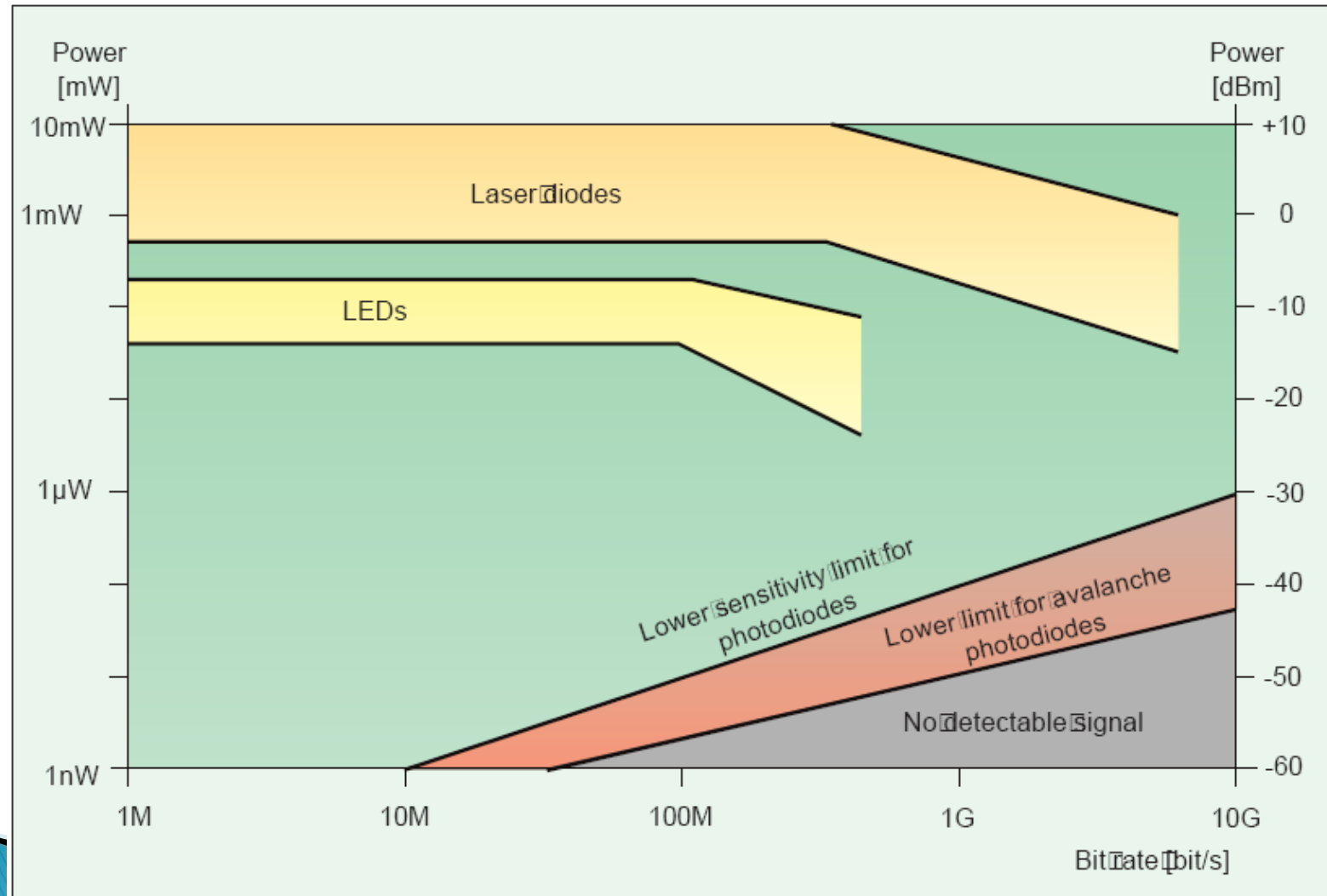


# Senzitivitatea unei diode





# Limite putere/bandă a dispozitivelor optoelectronice



# Contact

- ▶ Laboratorul de microunde si optoelectronica
- ▶ <http://rf-opto.etti.tuiasi.ro>
- ▶ [rdamian@etti.tuiasi.ro](mailto:rdamian@etti.tuiasi.ro)